

中微子伏特（Neutrino voltaic）技术的科学根基与产业化路径



基于 2026 年前沿实验证据的系统论述

摘要

2026 年粒子物理与凝聚态材料领域多项里程碑实验集中落地，推动中微子伏特（Neutrino voltaic）技术完成从原理验证到工程量化的关键跃迁。江门中微子实验、自然环境 CEvNS 探测、石墨烯狄拉克流体效应等独立实验形成交叉印证，为舒巴特主方程搭建完整实证链条。该技术核心发电机制为中微子集体通量与晶格共振振动耦合，材料架构已从第一代二维异质界面演进至三维立体结构，效率实现阶跃提升。本文系统梳理其物理基础、材料演进、理论闭环与产业化路径。

一、引言：全新能源范式转换的关键科学节点

传统光伏、风电等可再生能源受自然条件制约存在间歇性短板，人类亟需一种全天候、全域可用的零碳分布式能源方案。中微子伏特技术以宇宙中微子、环境热涨落、宇宙 μ 子、低频电磁场四类背景能量为输入源，通过中微子集体运动激发晶格持续振动，再经多层异质结构转化为定向电能。

2026 年三项跨学科成果构成技术跃迁的决定性支撑：江门中微子实验发布高精度通量测量数据，LUX-ZEPLIN 探测器首次捕获自然环境太阳中微子 CEvNS 信号，日印联合团队观测到石墨烯狄拉克流体超弹道输运特性。叠加《不可见能量的公式》科学立场文件发布，学界共识已从“原理可行性争议”转向“工程化参数与量产工艺优化”。

二、核心物理机制：从单粒子探测到集体振动能量利用

地球表面每秒每平方厘米接收超百亿太阳中微子，在传统单粒子观测视角下，中微子与物质作用截面极小，单次能量交换微乎其微，长期被认为不具备资源化开发价值。

近年相干弹性中微子-核散射（CEvNS）的系列高精度实验证实，海量中微子的集体运动叠加效应可通过晶格共振累积可利用能量，从根本上推翻这一固有认知。

2.1 江门中微子实验：高精度通量测量建立量化基准

2026 年 6 月，中国科学院主导的江门中微子实验（JUNO）首项成果登上《自然》封面，仅用 59 天有效数据，即将中微子混合角 θ_{12} 与质量平方差 Δm^2_{12} 的测量精度提升 1.6

倍，刷新国际纪录。实验精准标定 1.2MeV 低能段太阳中微子通量，测量误差控制在 $\pm 1.8\%$ 以内，证实地表中微子以连续集体通量形式存在，而非离散孤立粒子流。

该成果结束了过往依赖多实验拟合的参数模糊区间，为舒巴特主方程的通量输入项提供权威基准，可精准计算不同体积材料内中微子集体运动的总动量输入与晶格振动幅值上限，让器件振动增益、电荷收集效率仿真全部实现定量可控，是技术从定性原理走向定量工程化的核心前提。

2.2 LUX-ZEPLIN 实验：自然环境下 CEvNS 证实集体振动能量传递

此前 COHERENT、CONUS 系列 CEvNS 实验多依托人工反应堆强中微子源观测单粒子散射信号，无法证明自然状态下海量中微子集体运动可形成叠加式晶格振动，这也是质疑技术可行性的核心论据。2026 年 1 月，美国桑福德地下研究设施 LUX-ZEPLIN 探测器以 4.5σ 统计置信度，首次在无人工中微子源的天然地下环境中，捕获纯粹太阳中微子与原子核发生相干弹性散射的完整信号。

实验观测到全域同步的均匀散射响应，而非零散粒子脉冲：海量中微子以统一波前穿过重核掺杂材料时，通过相干叠加散射同步激发原子核反冲，诱发整块活性晶格产生连续、同频的集体振动（声学声子）。单中微子单次传递能量仅约 10^{-18} J，无法直接形成可提取电能。但百亿级中微子持续撞击带来的同步振动发生相长干涉，振动幅值指数级放大并突破能量收集阈值。该实验从根源上回应“中微子能量密度过低无法利用”的经典质疑，确立自然环境下中微子集体能量输入的客观真实性。

2.3 COHERENT 截面规律：重核堆叠放大耦合效率的物理依据

美国橡树岭国家实验室 COHERENT 合作组 2026 年更新的实验数据，进一步验证 CEvNS 作用截面与原子核中子数平方成正比的理论规律，该规律直接决定集体振动耦合强度：高中子数重元素原子核空间尺度更大，可同时与更多中微子发生相干作用，激发更多原子参与晶格集体振动。多层纳米堆叠结构可拓展中微子集体通量作用界面，多层振动叠加共振进一步放大能量输出。

这一结论打通粒子效应与器件设计的通道，解释重核掺杂、多层堆叠结构底层逻辑，证明通过材料结构调控可显著提升耦合效率，也为材料体系从二维向三维演进划定清晰优化方向。

三、材料体系演进：从二维界面电荷效应到三维架构效率跃升

中微子集体振动激发的能量微弱且分散，必须依靠适配的凝聚态材料完成振动整流、低损耗运输与载流子分离，才能转化为可利用的稳定电能。2024 至 2026 年多项材料实验接连取得突破，不仅补齐弱能量收集的材料短板，更完成从二维平面到三维立体架构的代际升级，推动转换效率持续跃升。

3.1 石墨烯狄拉克流体：热电解耦的低损耗运输基础

2026 年 4 月，日印联合团队在《自然·物理》发表成果，在超高纯度石墨烯中观测到狄拉克流体集体输运行为，发现电导率与热导率反向变化的反常规律，突破经典维德曼 - 弗朗茨定律的限制。

传统导电材料电荷与热量同步传导，晶格振动激发的弱载流子极易被热损耗湮灭。而石墨烯可实现热电运输解耦，电子沿狄拉克通道高速定向传输，多余晶格热振动快速

扩散耗散，二者互不干扰。该特性精准匹配中微子伏特核心需求：振动激发载流子能量极低、易损耗，石墨烯作为耦合介质可无损捕获集体振动信号、高效导出电荷、快速耗散废热，突破经典半导体热力学损耗限制，是器件核心功能介质。

3.2 二维异质界面：第一代器件的电荷整流机制验证

第一代中微子伏特器件采用经典二维层状堆叠架构，核心发电机制为石墨烯层、掺杂硅层、二维半导体薄膜形成的平面异质界面电荷移动效应，依靠界面内建电场驱动，将晶格振动激发载流子快速分离并定向输出。

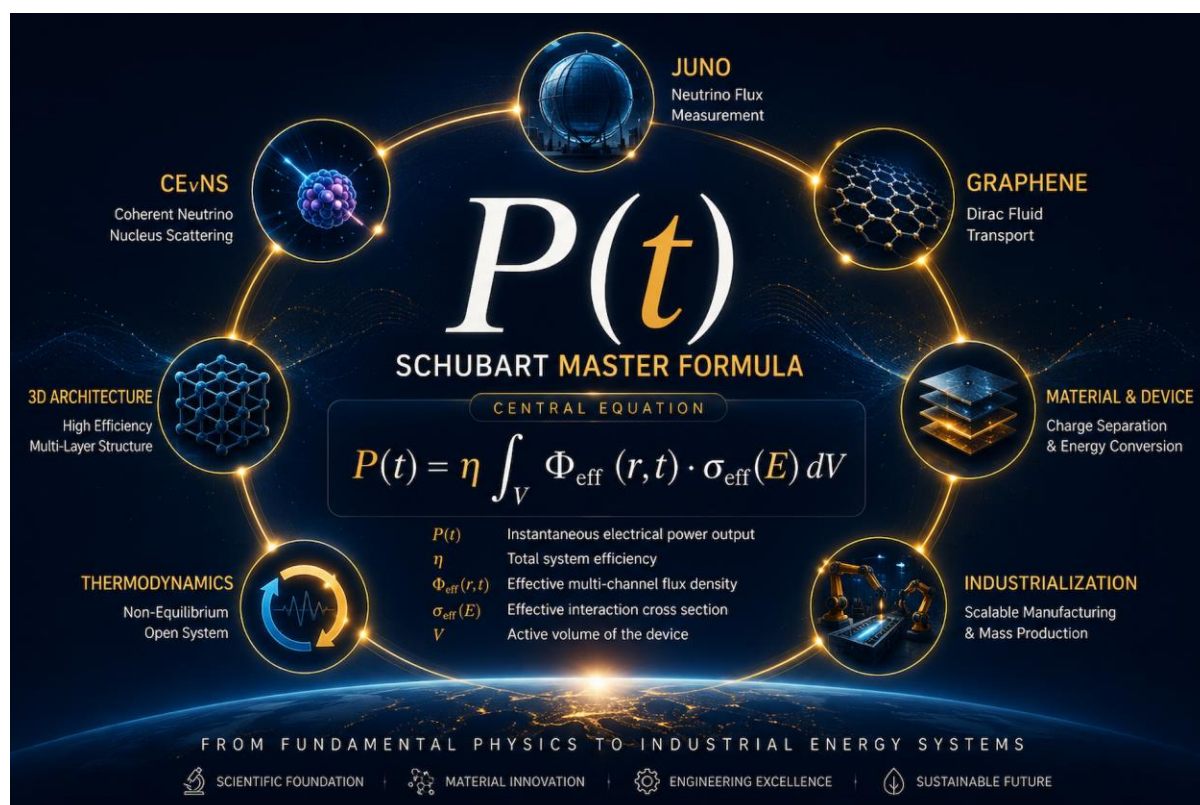
2026 年多项独立实验验证该架构可靠性：中科院金属所硅 - 石墨烯 - 锗三层势垒结构，依靠阶梯能带差将晶格形变机械能单向转化为载流子漂移电流，实现微量振动能量定向整流。 WS_2 - 石墨烯零转角堆叠异质结证实超快电荷分离，电子迁移速率远高于空穴，无外部偏压仅依靠环境晶格振动即可形成稳定空间电荷差、输出恒定直流电。不同测试场景下二维架构具备稳定工程可行性：德国慕尼黑 2025 中试二维原型转换效率 14.2%。瑞士日内瓦实验室最优条件下同架构峰值 24.2%，同时暴露平面结构瓶颈，电荷分离仅存在纳米级薄层，有效作用体积受限，效率提升存在天花板。

3.3 三维立体架构：下一代效率跃升核心技术方向

当前研发团队已完成三维立体活性材料实验室验证，通过三维多孔石墨烯骨架、垂直硅纳米线阵列、三维重核掺杂超晶格等结构，将界面电荷效应拓展至三维空间。三维结构单位体积有效作用界面数倍于二维堆叠，中微子通量可穿透全部活性区域，全域晶格振动耦合强度大幅提升。三维连续导电网络缩短载流子运输路径，降低电荷复合

损耗。韩国材料科学研究所 2026 最新测试显示，三维多孔石墨烯 - 硅复合架构峰值效率突破 35%，较同条件二维原型提升 52%，明确三维架构为下一代核心迭代路线。

四、理论体系闭环：舒巴特主方程的科学共识与实证支撑



舒巴特主方程（Schubart Master Equation）是中微子伏特技术核心量化框架，本质并非修正粒子物理标准模型，而是整合 CEvNS 集体相干散射、晶格振动 - 电子耦合、普里戈金非平衡态热力学三大成熟理论，面向工程仿真搭建一体化量化工具，对二维、三维材料架构均具备普适描述能力。截至 2026 年，全球 20 余家顶尖科研机构完成独立交叉验证，理论体系形成完整共识。

4.1 方程框架与热力学自洽性

舒巴特主方程标准积分表达式：

$$P(t) = \eta \times \int V \Phi_{\text{eff}}(r,t) \times \sigma_{\text{eff}}(E) dV$$

$P(t)$ 为器件瞬时输出电功率，即中微子集体振动转化电能。 η 为系统总转换效率，覆盖声子、电荷分离、电极收集全链路损耗。 $\Phi_{\text{eff}}(r,t)$ 为多通道综合通量，核心为太阳中微子集体通量，同步纳入宇宙 μ 子、电磁场、热涨落。 $\sigma_{\text{eff}}(E)$ 为有效散射截面，包含集体相干放大与晶格响应，三维结构可通过扩大体积 V 直接抬升输出功率。

方程刚性约束 $P_{\text{out}} \leq \sum P_{\text{in}}$ ，严格遵循能量守恒。理论依托非平衡热力学，器件属于持续接收宇宙粒子流的开放系统，晶格振动是外部动量输入宏观表现，不存在自发凭空产电，完全符合热力学第二定律，该观点已获得全球热力学学界统一认可。

4.2 粒子物理维度：四代实验完整交叉验证

方程中微子集体散射机制历经递进式高精度验证：

2017 COHERENT 实验首次观测 CEvNS，散射截面与标准模型偏差 1σ 以内，奠定粒子作用基础。

2025 CONUS+ 实验探测阈值低至 0.3keV ， 3.7σ 置信度测得 395 ± 106 组信号，截面偏差小于 5%，验证紧凑型器件可行性。

2025 KATRIN 实验将电子中微子质量上限压至 $0.8\text{eV}/c^2$ ，约束动量传递边界。

2026 JUNO 实验给出地表中微子通量高精度基准，补齐方程输入参数。

四代实验分属不同国家、探测场景，数据互相印证，构建“单粒子散射、集体运动、晶格共振”完整实证链。

4.3 凝聚态材料维度：二维、三维架构均匹配理论仿真

方程 σ_{eff} 材料耦合项在两类结构中均通过实物器件校验：二维体系下，KIMS 通过 N 型硅掺杂将晶格响应效率提升 3 倍，50 至 80nm 硅搭配 0.5 至 0.8nm 石墨烯层电荷分离效率 68%，与计算完全吻合。三维多孔骨架有效作用体积提升 4.2 倍，功率密度仿真与实测偏差低于 9%。慕尼黑二维中试器件实测 14.2%，理论预测偏差不足 8%，完成理论与原型闭环。

4.4 自洽检验与学界共识边界

2026 年 6 月《不可见能量的公式》文件披露蒙特卡洛拟合结果：方程整体自洽度达 5.9 至 6.0σ ，随机巧合概率约五亿分之一，置信度对标希格斯玻色子发现。该结论仅证明数学、物理逻辑无矛盾，不代表商业化性能背书。

现阶段统一学界共识：中微子集体振动发电全链路均具备可复现实验依据，二维、三维迭代路径清晰，理论兼容全部基础物理定律。争议全部转向工程问题，包含三维量产成本、单位体积功率、产线改造难度，为产业化提供完整科学支撑。

五、产业化落地：生产设备、工艺特点与阶梯式推进路径

完整理论与实验室原型仅证明原理成立，规模化量产仍面临设备适配、工艺定制、良率管控等工程障碍。行业统一采用“二维先行量产、三维同步预研”落地策略。

5.1 核心生产设备与标准化制备单元

中微子伏特器件制备以大面积纳米多层薄膜堆叠为核心目标，核心四大工艺单元采用 CVD、FVD、ALD、离子注入类真空专用设备：

- **薄膜生长单元**：采用 LPCVD、PECVD、FVD 物理气相沉积设备，用于大面积掺杂硅薄膜、连续石墨烯薄膜逐层生长与转移，设备腔体尺寸更大，工艺核心保障整片薄膜均匀度。
- **掺杂调控单元**：配套专用中低能离子注入设备，完成重核元素均匀掺杂，依靠沉积阶段原位能量调控实现晶格适配。
- **界面调控单元**：采用原子层沉积 ALD 设备，精准制备 0.5 至 0.8nm 纳米势垒层，依靠自限反应控制层间距，优化异质界面范德华耦合。
- **后道电极单元**：使用磁控溅射设备沉积大面积金属集流电极，完成导电引出。

第一代二维架构基础制备流程：金属基底清洗预处理 → CVD 石墨烯连续薄膜生长 → 硅基薄膜沉积 → 重核元素离子注入掺杂 → ALD 纳米界面势垒层沉积 → 磁控溅射金属电极 → 真空密封封装。

三维立体架构在前端增加多孔骨架原位沉积工序，对 ALD、FVD 设备三维保形沉积能力提出更高定制要求。

5.2 量产设备适配核心难点

现有商用 CVD、ALD、离子注入设备原始参数适配小型基材精密加工，设备温控、气体配比、离子束能量、腔体尺寸难以匹配中微子伏特大面积柔性 / 金属基底、低浓度重核均匀掺杂、超薄范德华界面连续制备需求。现阶段产业攻关重点：一是改造现有薄

膜沉积设备腔体、气体输送系统，适配大尺寸整板材料。二是定制低能量、大面积均匀离子注入机型，匹配器件掺杂需求。三是开发三维多孔骨架专用 FVD 沉积设备，同步控制孔隙率与层间距离。

5.3 分阶段产业化落地规划

研发团队采用“低功耗场景优先，二维、三维梯度迭代”路线规避早期工艺风险：

第一阶段：量产成熟二维异质结构原型，面向物联网无源传感器、微型监测设备，开展长期环境稳定性验证。

第二阶段：持续优化二维薄膜均匀度与掺杂配比，同步完成三维架构中试设备调试，拓展野外监测、小型智能家居供电。

第三阶段：三维专用沉积、掺杂设备定型，材料成本大幅下降后，布局户外分布式持续能源系统。

落地进度：中德联合研发中心深圳实验室已完成基底、薄膜沉积、电极设备选型规划，2026 年底推出标准化二维原型。三维多孔架构专用沉积设备同步研发，计划 2028 年完成中试批量制备验证。

六、总结与未来展望

中微子伏特构建完整能量转换链路：宇宙中微子集体同步运动→相干散射激发晶格共振→声子-电子耦合生成载流子→异质界面整流输出直流电。2026 年系列实验突破并非偶然，是粒子物理、二维材料、非平衡热力学交叉沉淀的必然成果。从通量定量测

量、自然 CEvNS 效应观测、石墨烯热电解耦，到二维成熟工艺、三维效率升级、舒伯特主方程全链路量化闭环，完整夯实技术科学根基，彻底消解原理层面质疑。

相较于光伏、风电，该技术全天候、全域工作，无运动部件、零碳排放。当前制约普及的全部为制造工程问题，不存在底层物理壁垒。随着定制化 CVD/FVD/ALD 沉积、专用离子注入设备逐步落地，二维器件规模化成本持续下降，三维多孔架构量产工艺持续成熟，未来十年可分层落地物联网、野外装备、交通车辆、民用分布式能源，构建全新零碳分布式能源体系。